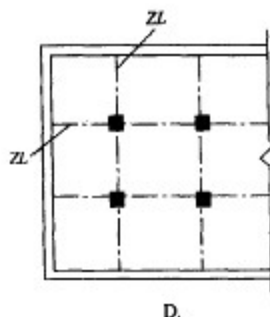
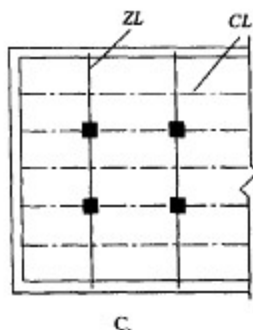
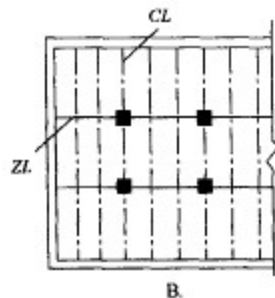
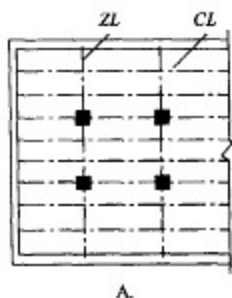


- 选用墙体材料时,为使室内能够尽可能冬暖夏凉,材料应( )。
  - 导热系数小,比热值大
  - 导热系数大,比热值大
  - 导热系数小,比热值小
  - 导热系数大,比热值小
- 承受振动或冲击荷载作用的结构,应选择下列( )种材料。
  - 抗拉强度较抗压强度高许多倍
  - 变形很小,抗拉强度很低
  - 变形很大,且取消外力后,仍保持原来的变形
  - 能够吸收较大能量且能产生一定的变形而不破坏
- 下列关于建筑石膏的描述正确的是( )。
  - 建筑石膏凝结硬化的速度快;
  - 凝结硬化后表观密度小,而强度降低;
  - 凝结硬化后的建筑石膏导热性大,吸声性强;
  - 建筑石膏硬化后体积发生微膨胀。
  - ①②③④
  - ①②
  - ③④
  - ①④
- 不宜用于大体积混凝土工程的水泥是( )。
  - 硅酸盐水泥
  - 矿渣硅酸盐水泥
  - 粉煤灰水泥
  - 火山灰水泥
- 混凝土是( )。
  - 完全弹性材料
  - 完全塑性材料
  - 弹塑性材料
  - 不确定
- 有关混凝土碱集料反应的叙述,有错的是( )。
  - 使用低碱水泥可以有效抑制碱集料反应
  - 掺加矿渣、粉煤灰等矿物掺合料也可抑制碱集料反应
  - 保持混凝土干燥可防止碱集料反应发生
  - 1kg 钾离子的危害与 1kg 的钠离子的危害相同
- 测定石材的抗压强度所用的立方体试块的尺寸为( )。
  - 150mm × 150mm × 150mm
  - 100mm × 100mm × 100mm
  - 70.7mm × 70.7mm × 70.7mm
  - 50.5mm × 50.5mm × 50.5mm
- 一幅地形图上,等高线越稀疏,表示地貌的状态是( )。
  - 坡度均匀
  - 坡度越小
  - 坡度越大
  - 陡峻
- 用钢尺往返丈量 120m 的距离,要求相对误差达到 1/10 000,则往返校差不得大于( )m。
  - 0.048
  - 0.012
  - 0.024
  - 0.036
- 已知某直线的坐标方位角为  $120^{\circ}5'$ ,则可知该直线的坐标增量为( )。
  - $+\Delta X, +\Delta Y$
  - $+\Delta X, -\Delta Y$
  - $-\Delta X, +\Delta Y$
  - $-\Delta X, -\Delta Y$

11. 闭合导线和附和导线在计算下列( )项差值时,计算公式有所不同。
- 角度闭合差、坐标增值闭合差
  - 方位角、坐标增量
  - 角度闭合差、导线全长闭合差
  - 纵坐标增量闭合差 ÷ 横坐标增量闭合差
12. 建筑施工坐标系的坐标轴设置应与( )平行。
- 独立坐标系
  - 建筑物主轴线
  - 大地坐标系
  - 建筑物红线
13. 设计合同的主要内容应该包括( )。
- ① 工程范围;② 质量要求;③ 费用;④ 提交有关基础资料 and 文件(包括概预算)的期限;⑤ 工程造价。
- ①②③④⑤
  - ①②③
  - ②③④
  - ③④⑤
14. 在正常使用条件下,建设工程的最低保修期限,对屋面防水工程、有防水要求的卫生间、房间和外墙面的防渗漏为( )年。
- 2
  - 3
  - 4
  - 5
15. 《建筑法》中所指的建筑活动是( )。
- ① 各类房屋建筑;② 高速公路;③ 铁路;④ 水库大坝等。
- ①
  - ①②
  - ①②③
  - ①②③④
16. 招标人应当确定投标人编制投标文件所需要的合理时间,自招标文件开始发出之日起至投标人提交投标文件截止之日止的时间应该为( )。
- 最短不得少于 45 天
  - 最短不得少于 30 天
  - 最短不得少于 20 天
  - 最短不得少于 15 天
17. 在要求有抗静电、抗冲击和传爆长度较大的洞室爆破时,应采用的方法是( )。
- 电力起爆法
  - 脚线起爆法
  - 导爆管起爆法
  - 火花起爆法
18. 滑升模板由( )组成。
- ① 模板系统;② 操作平台系统;③ 提升系统;④ 液压系统;⑤ 控制系统。
- ①②③
  - ①④
  - ③④⑤
  - ②⑤
19. 钢筋混凝土框架结构施工过程中,混凝土的梁和板应同时浇筑。当梁高超过( )m 时,为了施工方便,也可将梁单独浇筑。
- 0.8
  - 1.0
  - 1.2
  - 1.4
20. 对履带式起重机各技术参数间的关系,以下描述中错误的是( )。
- 当起重臂仰角不变时,随着起重臂长度增加,则起重半径和起重高度增加,而起重重量减小
  - 当起重臂长度一定时,随着仰角的增加,起重量和起重高度增加,而起重半径减小
  - 当起重臂长度增加时,起重量和起重半径增加
  - 当起重半径增大时,起重高度随之减小

21. 某项工作有两项紧后工作  $D$  和  $E$ ,  $D$  的最迟完成时间为 20d, 持续时间为 13d;  $E$  的最迟完成时间为 15d, 持续时间为 10d。则本工作的最迟完成时间为( )d。
- A. 20                      B. 15                      C. 10                      D. 5
22. 某均布荷载作用下的钢筋混凝土简支梁, 截面尺寸为  $b \times h = 200\text{mm} \times 500\text{mm}$ , 采用混凝土 C20 ( $f_c = 9.6\text{N/mm}^2$ ), 箍筋为 HPB235 ( $f_y = 210\text{N/mm}^2$ ), 采用直径为 8mm 的双肢箍, 间距为 200mm,  $V = 170\text{kN}$ 。梁的斜截面破坏形式为( )。
- A. 斜拉破坏              B. 斜压破坏              C. 剪切破坏              D. 不确定
23. 在钢筋混凝土轴心受压构件中, 宜采用( )。
- A. 圆形截面  
B. 较高强度等级的混凝土  
C. 较高强度等级的纵向受力钢筋  
D. 在钢筋面积不变的前提下, 宜采用直径较细的钢筋
24. 地震的震级越大, 表明( )。
- A. 建筑物的损坏程度越大                      B. 地震时释放的能量越多  
C. 震源至地面的距离越远                      D. 地震的持续时间越长
25. 图示四种梁格布置方案, 主梁及次梁的跨度均为 6m, 应优先选用( )。



26. 钢材牌号 Q235, Q345, Q390 的命名是根据材料的( )。

- A. 设计强度                      B. 标准强度  
C. 屈服点                        D. 含碳量

27. 考虑风吸力的荷载组合时, 永久荷载的分项系数为( )。

- A. 1.0                      B. 1.2                      C. 1.3                      D. 1.4

28. 直角角焊缝的强度计算公式  $\tau_f = \frac{N}{h_e l_w} \leq f_f^w$  中,  $h_e$  是角焊缝的( )。

- A. 厚度                      B. 有效厚度                      C. 名义厚度                      D. 焊角尺寸

29. 进行梁的整体稳定验算时, 当得到  $\varphi_b > 0.6$  时, 应将  $\varphi_b$  用相对应的  $\varphi'_b$  代替, 这说明( )。

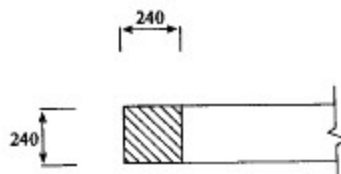
- A. 梁的临界应力大于抗拉强度                      B. 梁的临界应力大于屈服点  
C. 梁的临界应力大于比例极限                      D. 梁的临界应力小于比例极限

30. 在验算带壁柱砖墙的高厚比时, 确定  $H_0$  应采用的  $s$  ( )。

- A. 验算壁柱间墙时,  $s$  取相邻横墙间的距离  
B. 验算壁柱间墙时,  $s$  取相邻壁柱间的距离  
C. 验算整片墙且墙上有洞口时,  $s$  取相邻壁柱间的距离  
D. 验算整片墙时,  $s$  取相邻壁柱间的距离

31. 某砌体局部受压构件, 如题图所示, 按题图计算的砌体局部受压强度提高系数为( )。

- A. 2.0                      B. 1.5                      C. 1.35                      D. 1.25



题 31 图

32. 下列挑梁概念中, 不正确的是( )。

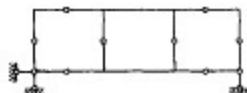
- A. 挑梁本身应按钢筋混凝土受弯构件设计  
B. 挑梁埋入砌体的长度与挑出长度之比宜大于 1.2, 当挑梁上无砌体时, 宜大于 2  
C. 挑梁下砌体的局部受压承载力验算时, 挑梁下的支承压力取挑梁的倾覆荷载设计值  
D. 挑梁抗倾覆力矩中的抗倾覆荷载, 应取挑梁尾端上部  $45^\circ$  扩散角范围内本层的砌体与楼面恒载标准值之和

33. 砌体轴心抗拉、弯曲抗拉、抗剪强度主要取决于( )。

- ① 砂浆的强度;    ② 块体的强度;    ③ 砌体种类;    ④ 破坏特征。  
A. ①②③                      B. ②③④  
C. ①③④                      D. ①②④

34. 图示体系是几何( )的体系。

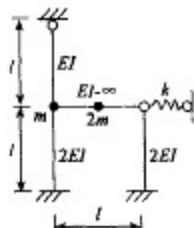
- A. 不变  
B. 不变且无多余约束  
C. 瞬变  
D. 不变, 有一个多余约束



题 34 图

35. 图所示刚架的自振频率为( )。

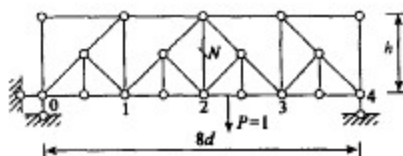
- A.  $\omega = \sqrt{\frac{51EI + kl^3}{3ml^3}}$   
B.  $\omega = \sqrt{\frac{17EI + kl^3}{ml^3}}$   
C.  $\omega = \sqrt{\frac{48EI + kl^3}{3ml^3}}$   
D.  $\omega = \sqrt{\frac{16EI + kl^3}{ml^3}}$



题 35 图

36. 图示桁架  $N$  杆的影响线纵标不为零的区段为( )。

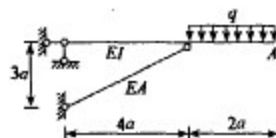
- A. 0 ~ 4 点之间  
B. 1 ~ 3 点之间  
C. 2 ~ 4 点之间  
D. 0 ~ 2 点之间



题 36 图

37. 图示结构  $A$  点的竖向位移(向下为正)为( )。

- A.  $\frac{22qa^4}{3EI}$   
B.  $\frac{18qa^4}{EI} + \frac{625qa}{EA}$   
C.  $\frac{22qa^4}{3EI} + \frac{625qa}{12EA}$   
D.  $\frac{22qa^4}{3EI} + \frac{625qa}{EA}$



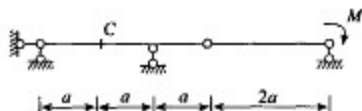
题 37 图

38. 用机动法作梁某一量值的影响线, 其虚位移图的竖标为垂直于梁轴方向的虚位移, 这一结论适用于( )。

- A. 任何一种水平梁  
B. 任何一种静定梁  
C. 任何一种超静定梁  
D. 任何一种斜梁

39. 图示多跨梁  $C$  截面的弯矩为( )。

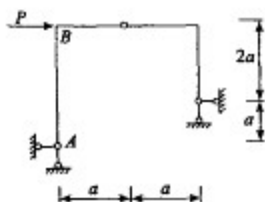
- A.  $M/4$   
B.  $M/2$   
C.  $3M/4$   
D.  $3M/2$



题 39 图

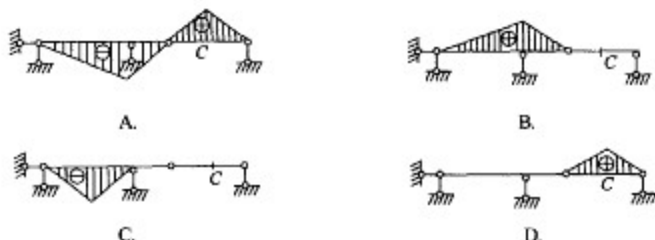
40. 图示不等高三铰刚架  $M_{BA}$  等于( )。

- A.  $0.8Pa$ (左边受拉)  
B.  $0.8Pa$ (右边受拉)  
C.  $1.2Pa$ (左边受拉)  
D.  $1.2Pa$ (右边受拉)



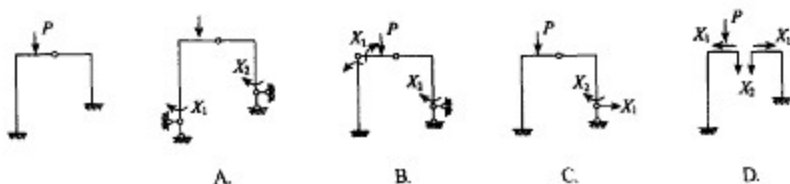
题 40 图

41. 下列( )是静定梁截面  $C$  的弯矩影响线。



题 41 图

42. 图示为两次超静定结构, 下列( )图作为力法的基本结构求解过程最简便。



题 42 图

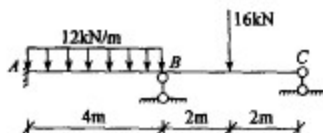
43. 对超静定结构所选的任意基本结构上的力( )满足平衡条件。

- A. 仅在符合变形条件下才能  
B. 都能  
C. 仅在线弹性材料情况下才能  
D. 不一定都能

44. 用力矩分配法计算图示梁时, 结点  $B$  的不平衡

力矩的绝对值为( )  $\text{kN} \cdot \text{m}$ 。

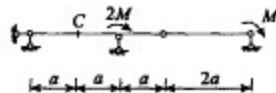
- A. 28  
B. 24  
C. 4  
D. 8



题 44 图

45. 图示多跨梁截面  $C$  的弯矩为( )。

- A.  $M/2$  (上面受拉)  
B.  $M/2$  (下面受拉)  
C.  $3M/4$  (上面受拉)  
D.  $3M/4$  (下面受拉)



题 45 图

46. 结构某一截面某一内力影响线将( )而改变。

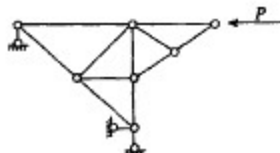
- A. 随实际荷载  
B. 不随实际荷载  
C. 因坐标系的不同  
D. 随实际荷载数量

47. 力法的基本未知力是通过变形协调条件确定的, 而其余未知量是通过( )条件确定的。

- A. 平衡  
B. 物理  
C. 图乘  
D. 变形协调

48. 图示桁架有( )根零杆。

- A. 1  
B. 3  
C. 5  
D. 7



题 48 图

49. 在探索性试验中, 采用下列( )方法研究结构在地震作用下恢复力特性。

- A. 等幅加载  
B. 变幅加载  
C. 双向同步加载  
D. 变幅等幅混合加载

50. 验证混凝土简支梁计算的平截面假定的试验中, 需要在同一截面上布置( )个以上水平方向的应变测点。

- A. 3  
B. 4  
C. 5  
D. 6

51. 在观测混凝土构件的裂缝时, 在受拉区交替布置量测仪表, 当出现裂缝时下列( )项是正确的。

- A. 裂缝跨过处仪表读数突然增大, 相邻测点仪表读数可能变小  
B. 裂缝跨过处仪表读数突然增大, 相邻测点仪表读数随之变大  
C. 裂缝跨过处仪表读数不变, 相邻测点仪表读数突然增大  
D. 裂缝跨过处仪表读数不变, 相邻测点仪表读数突然减小

52. 用量纲分析法进行模型设计, ( ) 量纲系统为绝对系统。
- A. 长度、时间和力  
B. 长度、时间和质量  
C. 力、速度和加速度  
D. 力、应变和弹性模量
53. 下列 ( ) 不属于结构的动力特性。
- A. 自振频率  
B. 振型  
C. 阻尼系数  
D. 振幅
54. 附加应力是 ( )。
- A. 由上部结构荷载和土的自重共同引起的  
B. 由基础自重引起的  
C. 随地下水位的上升而下降的  
D. 随离基底中心水平距离的增大而减小的
55. 下列有关地基附加应力计算时的有关说法不正确的是 ( )。
- A. 基础埋深越大, 土中附加应力越大  
B. 基础埋深越大, 土中附加应力越小  
C. 计算深度越小, 土中附加应力越大  
D. 基底附加应力越大, 土中附加应力越大
56. 埋深为  $h$  的浅基础, 一般情况下基底压应力  $p$  与基底附加应力  $p_0$  大小之间的关系为 ( )。
- A.  $p > p_0$   
B.  $p = \frac{1}{2} p_0$   
C.  $p < p_0$   
D.  $p \geq p_0$
57. 挡土墙后填土处于主动极限平衡状态, 则挡土墙 ( )。
- A. 在外荷载作用下推挤墙背后土体  
B. 在外荷载作用下偏离墙背后土体  
C. 被土压力推动而偏离墙背土体  
D. 被土体限制而处于原来位置
58. 将软弱下卧层的承载力标准值修正为设计值时 ( )。
- A. 需作宽度和深度修正  
B. 仅需作宽度修正  
C. 仅需作深度修正  
D. 仅当基础宽度大于 3m 时才需作宽度修正
59. 两个埋深和底面压力均相同的单独基础, 在相同的非岩石类地基土情况下, 基础面积大的沉降量与基础面积小的沉降量的关系如下列 ( ) 项所示。
- A. 基础面积大的沉降量比基础面积小的沉降量大  
B. 基础面积大的沉降量比基础面积小的沉降量小  
C. 基础面积大的沉降量与基础面积小的沉降量相等  
D. 基础面积大的沉降量与基础面积小的沉降量关系按不同的土类别而定
60. 土的塑性指数越大, 则 ( )。
- A. 土的含水量越高  
B. 土的黏粒量越高  
C. 土的抗剪强度越小  
D. 土的孔隙比越大